



北京交通大学

第3讲：配电网最优潮流问题

王 颖

课程负责人：许寅

北京交通大学电气工程学院

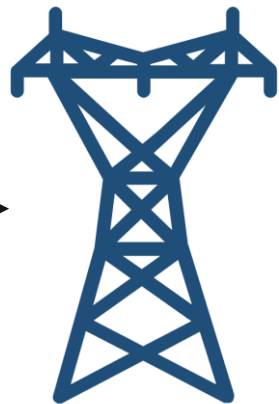
往年教学视频：<https://www.bilibili.com/video/BV1q7411y7N9/>

相比于输电网，配电网有哪些特点？

我国配电网电压等级都有哪些？



Generation



Transmission



Distribution



Consumer

正常使用主观题需2.0以上版本雨课堂

课程目标

- 了解我国配电网电压等级及典型拓扑结构
- 掌握三相不对称配电网最优潮流问题的半定规划模型建立过程
- 概括三相不对称配电网潮流线性化需满足的条件，掌握线性规划模型
- 理解并概括两个案例中最优潮流问题拟解决的难点及求解思想

配电网简介

我国配电网 (Distribution Network) 的电压等级

- 电压等级： 110、66、35、20、10、0.38 kV

- 主要电压等级序列：

- 220 (330) /110/10 (20) /0.38 kV

- 220/66/10/0.38 kV

- 220/35/10/0.38 kV

- 220/20/0.38 kV

- 220 (330) /110/35/10/0.38 kV

- 220 (330) /110/35/0.38 kV

66 kV – 东北电网

330 kV – 西北电网

20 kV – 南方电网

* 中华人民共和国电力行业标准：配电网规划设计技术导则，DL/T 5729-2016

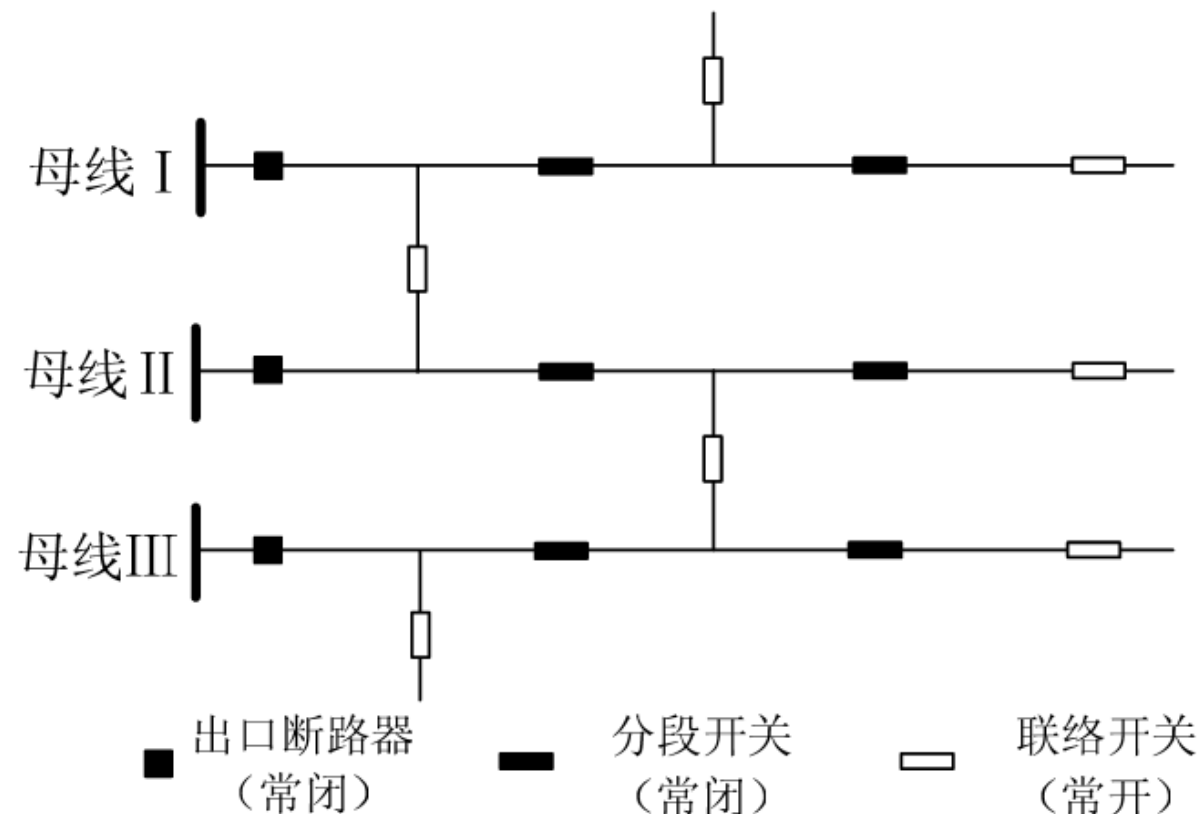
中压 (10kV) 配电网典型拓扑结构

• 架空网

辐射状



多分段适度联络

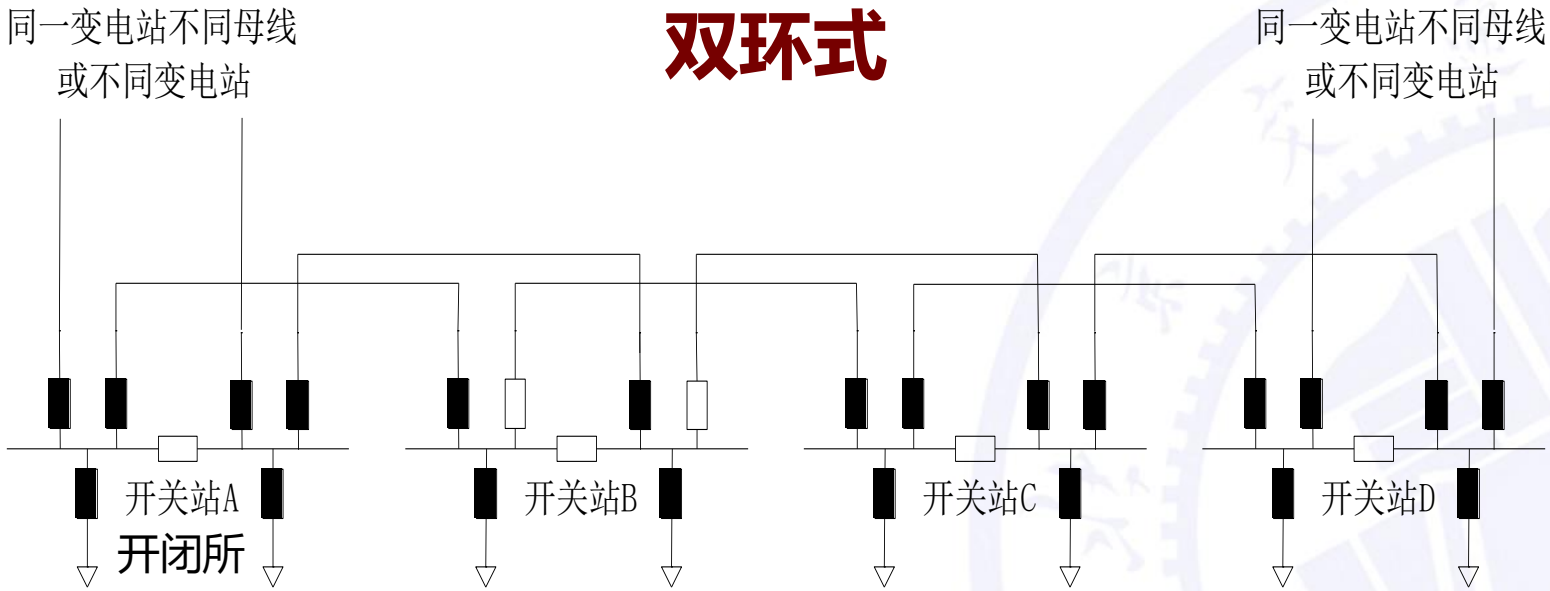
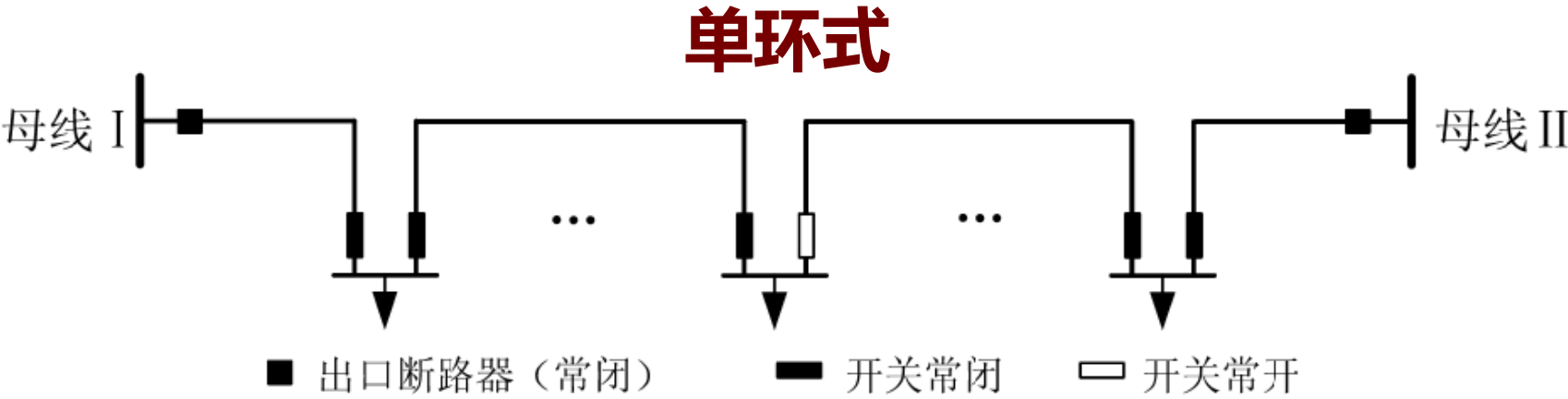


* 中华人民共和国电力行业标准：配电网规划设计技术导则，DL/T 5729-2016

2022-03-30

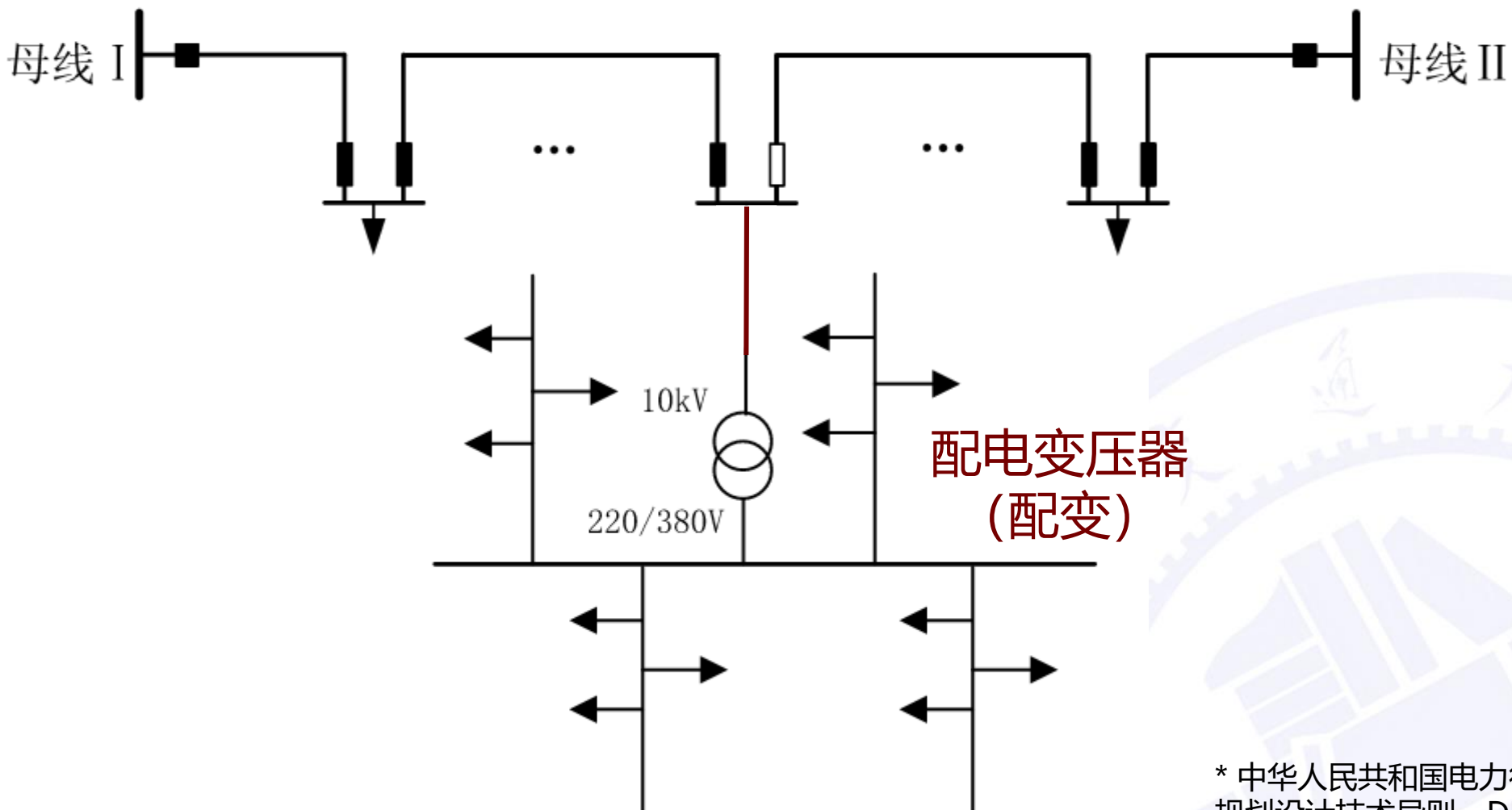
中压 (10kV) 配电网典型拓扑结构

• 电缆网



* 中华人民共和国电力行业
标准：配电网规划设计技术
导则，DL/T 5729-2016

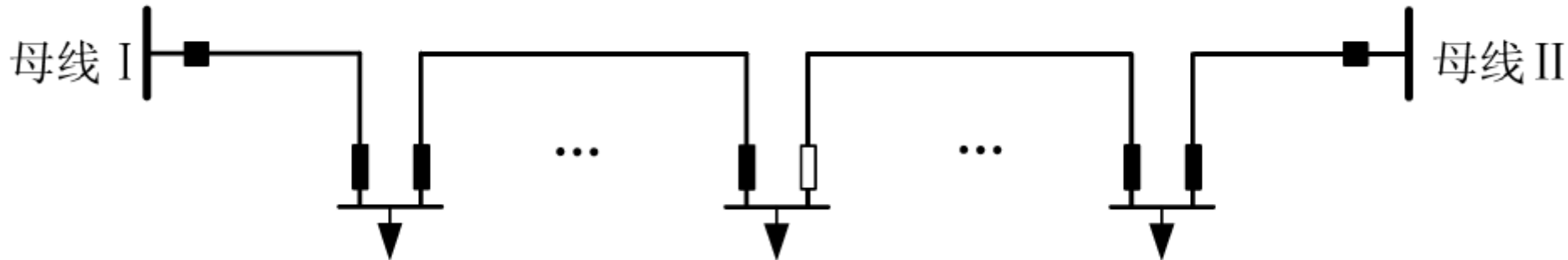
低压 (380V) 配电网典型拓扑结构



* 中华人民共和国电力行业标准：配电网
规划设计技术导则，DL/T 5729-2016

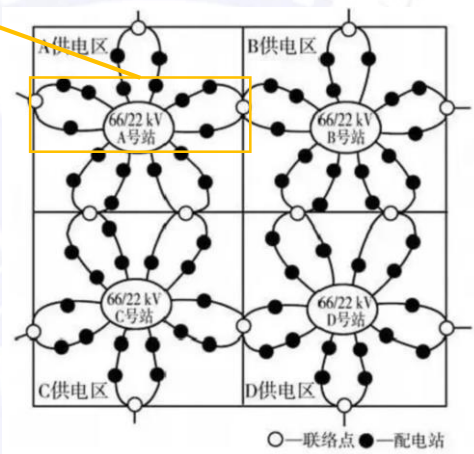
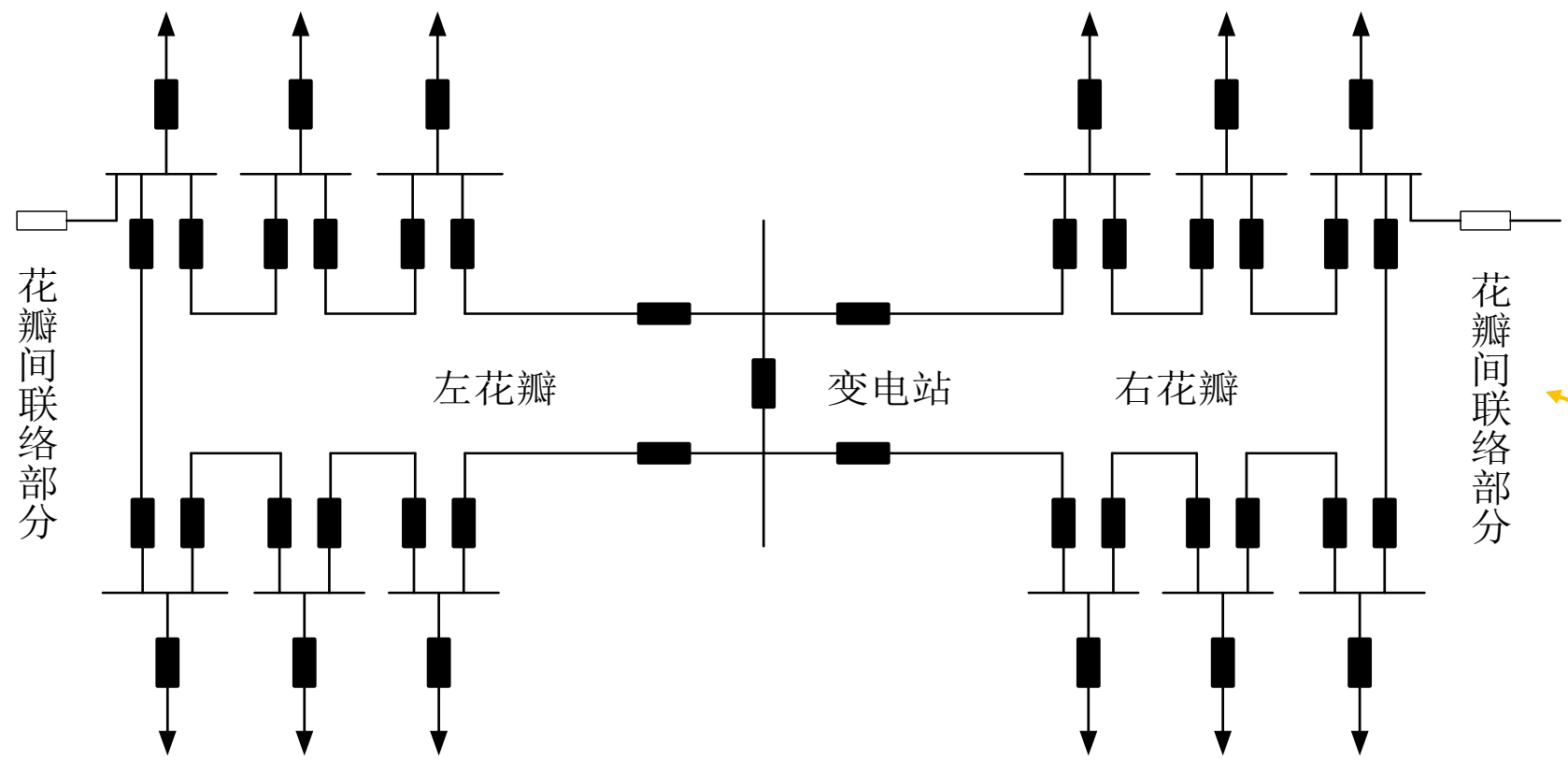
传统中低压配电网的运行管理

- 闭环设计，开环运行
- 单向潮流
- 简单的故障处理逻辑
- 量测少 low visibility
- 用户参与度低
- 管理粗放、不受重视

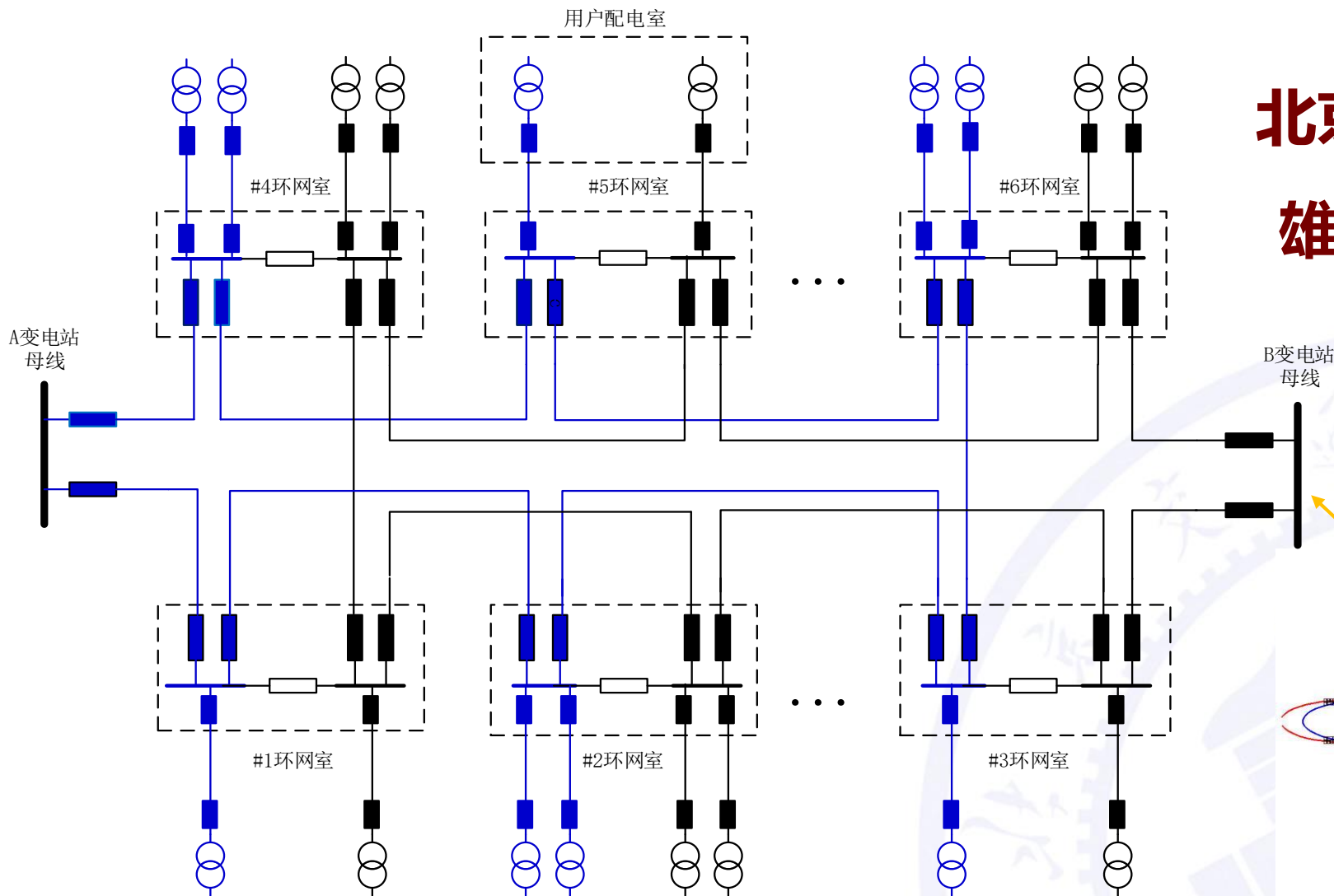


高可靠中压配电网结构 – 花瓣状电网

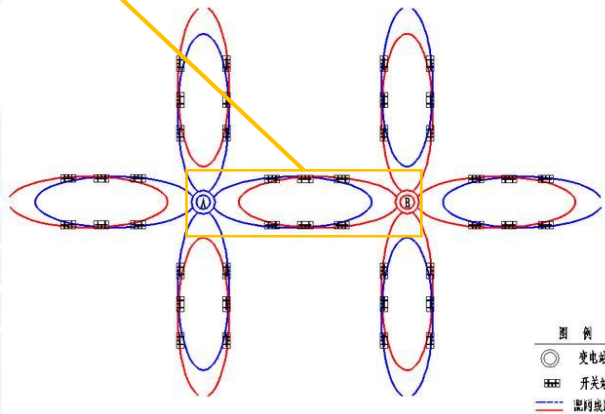
新加坡电网




高可靠中压配电网结构 – 双花瓣状电网



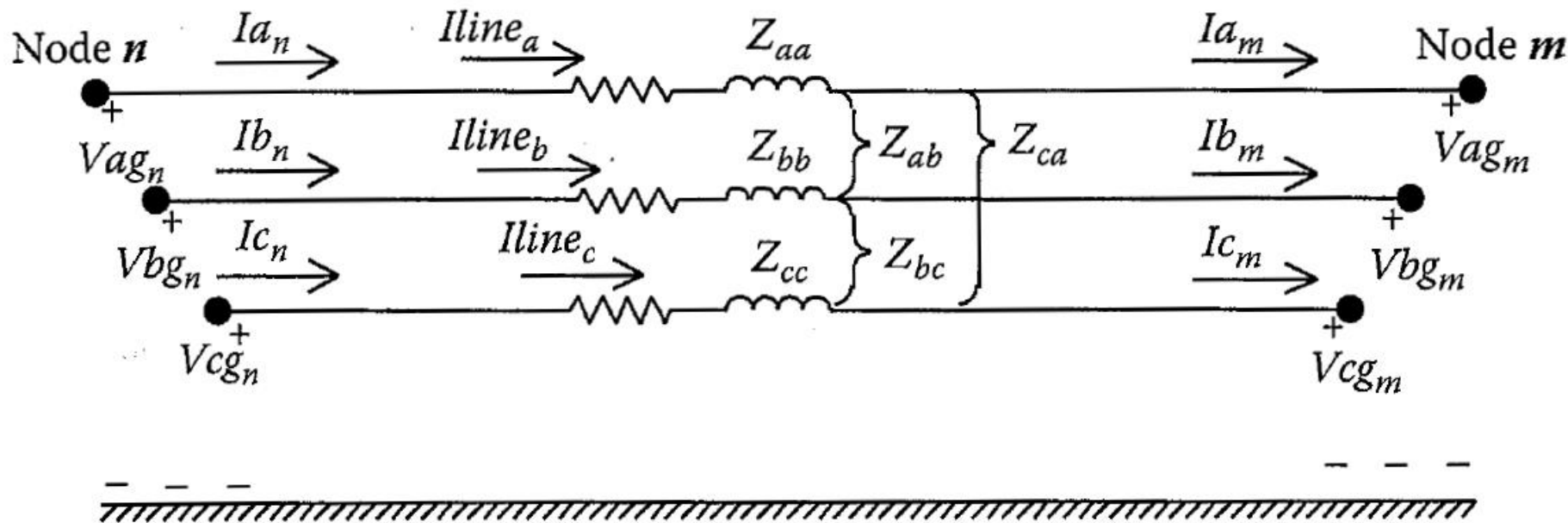
北京副中心(通州)
雄安新区起步区





配电网 最优潮流模型

建模：三相不对称配电线路模型



$$\begin{bmatrix} V_{ag} \\ V_{bg} \\ V_{cg} \end{bmatrix}_n = \begin{bmatrix} V_{ag} \\ V_{bg} \\ V_{cg} \end{bmatrix}_m + \begin{bmatrix} Z_{aa} & Z_{ab} & Z_{ac} \\ Z_{ba} & Z_{bb} & Z_{bc} \\ Z_{ca} & Z_{cb} & Z_{cc} \end{bmatrix} \cdot \begin{bmatrix} I_{line_a} \\ I_{line_b} \\ I_{line_c} \end{bmatrix}$$



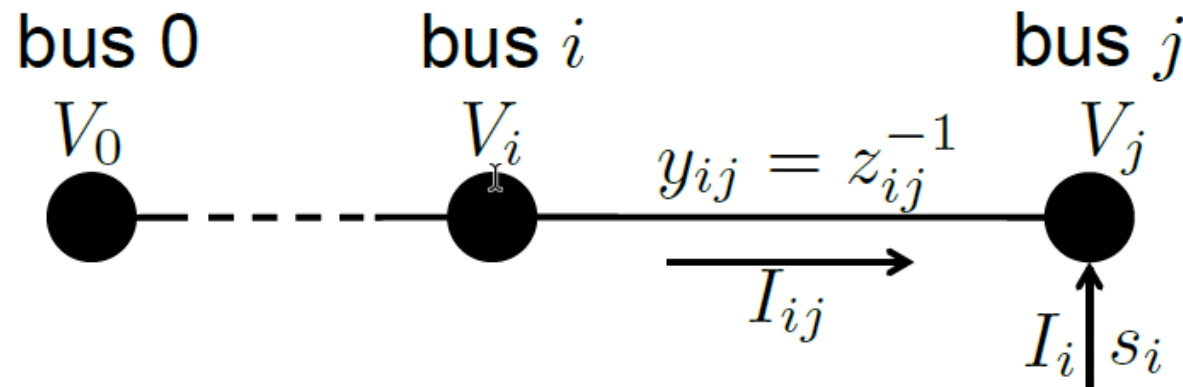
欧姆定律

$$V_n = V_m + z_{nm} I_{nm}$$

$$y_{nm} = z_{nm}^{-1}$$

配电网模型

- 由于配电网为辐射状结构，因此可表示为一棵**树(tree)**。设变电站 (substation) 节点为**根节点**，编号为0
- 每条边指定一个**参考方向**，用 (i, j) 或 $i \rightarrow j$ 表示



配电网最优潮流：架构

minimize $\sum_{i \in \mathcal{G}} \sum_{\phi \in \{a,b,c\}} c_i \text{Re}(s_{g,i}^{\phi})$ 最小化发电成本

subject to 配电网潮流方程

$$\underline{V}_i^{\phi} \leq |V_i^{\phi}| \leq \bar{V}_i^{\phi}, \forall i \in \mathcal{N}^+, \phi \in \{a, b, c\}$$

节点电压约束

$$V_0 = V_0^{\text{ref}}$$

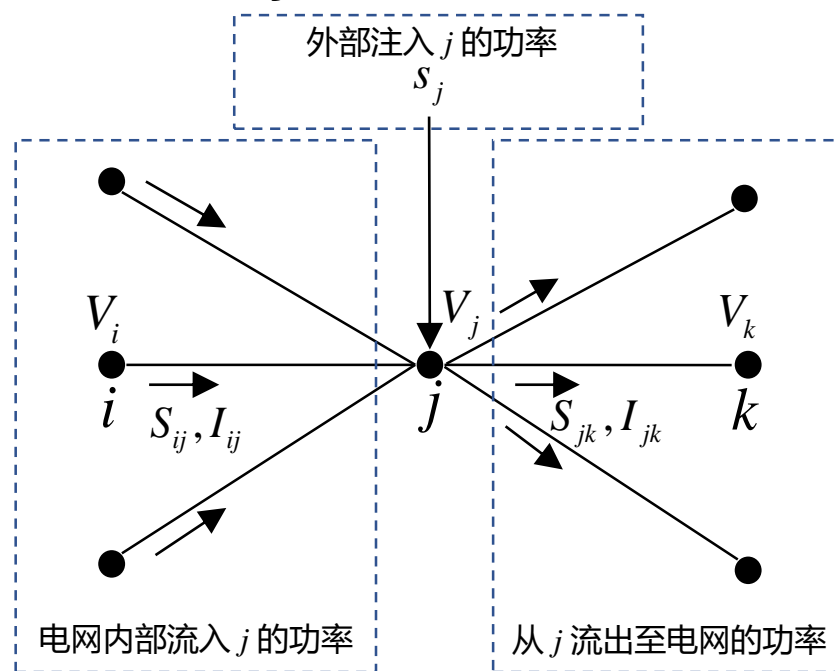
$$\underline{S}_i^g \leq \sum_{\phi \in \{a,b,c\}} s_{g,i}^{\phi} \leq \bar{S}_i^g, \forall i \in \mathcal{G}$$

发电机功率约束

配电网潮流方程 (BFM)

$$\sum_{k:j \rightarrow k} \text{diag}(S_{jk}) = \sum_{i:i \rightarrow j} \text{diag}(S_{ij} - z_{ij}l_{ij}) + s_j \quad \forall j \in \mathcal{N}$$

节点功率平衡



$$V_i - V_j = z_{ij}l_{ij} \quad \forall (i, j) \in \mathcal{E} \quad \text{欧姆定律 (线路模型)}$$

$$l_{ij} = I_{ij}I_{ij}^H \quad \forall (i, j) \in \mathcal{E} \quad \text{线路电流矩阵}$$

$$S_{ij} = V_i I_{ij}^H \quad \forall (i, j) \in \mathcal{E} \quad \text{线路首端功率矩阵}$$

配电网BFM潮流方程中，矩阵变量 l_{ij} 和 s_{ij} 各元素的物理意义是什么？

$$\sum_{k:j \rightarrow k} \text{diag}(S_{jk}) = \sum_{i:i \rightarrow j} \text{diag}(S_{ij} - z_{ij}l_{ij}) + s_j \quad \forall j \in \mathcal{N}$$

节点功率平衡

$$V_i - V_j = z_{ij}I_{ij} \quad \forall (i, j) \in \mathcal{E}$$

欧姆定律 (线路模型)

$$l_{ij} = I_{ij}I_{ij}^H \quad \forall (i, j) \in \mathcal{E}$$

线路电流矩阵

$$s_{ij} = V_i I_{ij}^H \quad \forall (i, j) \in \mathcal{E}$$

线路首端功率矩阵

正常使用主观题需2.0以上版本雨课堂

BFM: 线路电流矩阵 l_{ij} 和首端功率矩阵 S_{ij}

$$I_{ij} = \begin{bmatrix} I_{ij}^a \\ I_{ij}^b \\ I_{ij}^c \end{bmatrix} \quad l_{ij} = I_{ij} I_{ij}^H = \begin{bmatrix} |I_{ij}^a|^2 & I_{ij}^a I_{ij}^{b*} & I_{ij}^a I_{ij}^{c*} \\ I_{ij}^b I_{ij}^{a*} & |I_{ij}^b|^2 & I_{ij}^b I_{ij}^{c*} \\ I_{ij}^c I_{ij}^{a*} & I_{ij}^c I_{ij}^{b*} & |I_{ij}^c|^2 \end{bmatrix}$$

对角线元素
为各相电流
幅值的平方

$$V_i = \begin{bmatrix} V_i^a \\ V_i^b \\ V_i^c \end{bmatrix} \quad S_{ij} = V_i I_{ij}^H = \begin{bmatrix} V_i^a I_{ij}^{a*} & V_i^a I_{ij}^{b*} & V_i^a I_{ij}^{c*} \\ V_i^b I_{ij}^{a*} & V_i^b I_{ij}^{b*} & V_i^b I_{ij}^{c*} \\ V_i^c I_{ij}^{a*} & V_i^c I_{ij}^{b*} & V_i^c I_{ij}^{c*} \end{bmatrix}$$

对角线元素为
线路首端各相
复功率

BFM: 节点功率平衡方程

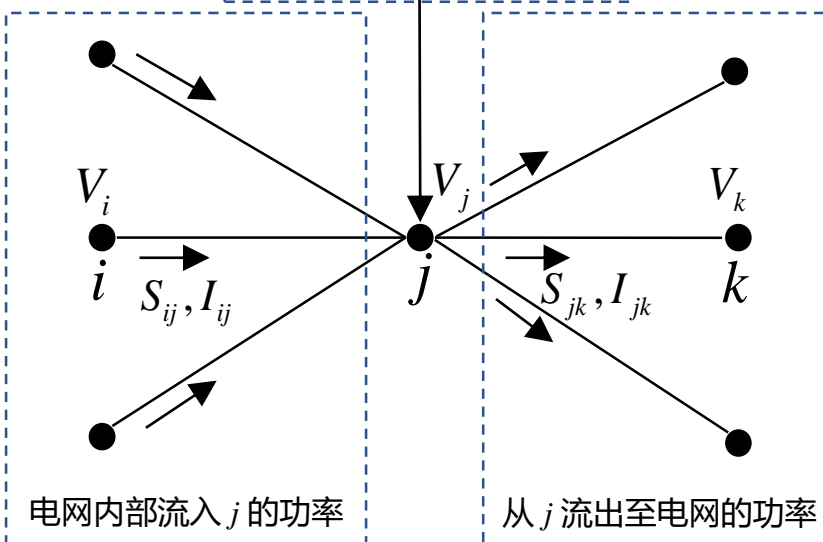
$$\sum_{k:j \rightarrow k} \text{diag}(S_{jk}) = \sum_{i:i \rightarrow j} \text{diag}(S_{ij} - z_{ij} l_{ij}) + s_j \quad \forall j \in \mathcal{N}$$

以节点*j*为首节点
的线路首端功率

以节点*j*为末节点
的线路末端功率

节点*j*注
入功率

外部注入*j*的功率



以A相为例，即计算 $\text{diag}(S_{ij} - z_{ij} l_{ij})$ 的第一个元素：

$$\begin{aligned} & V_i^a I_{ij}^{a*} - z_{ij}^{aa} I_{ij}^a I_{ij}^{a*} - z_{ij}^{ab} I_{ij}^b I_{ij}^{a*} - z_{ij}^{ac} I_{ij}^c I_{ij}^{a*} \\ &= V_i^a I_{ij}^{a*} - (z_{ij}^{aa} I_{ij}^a + z_{ij}^{ab} I_{ij}^b + z_{ij}^{ac} I_{ij}^c) I_{ij}^{a*} \\ &= V_i^a I_{ij}^{a*} - (V_i^a - V_j^a) I_{ij}^{a*} = V_j^a I_{ij}^{a*} \end{aligned}$$

配电网BFM潮流方程的变量替换

令 $v_i = V_i V_i^H$ =
$$\begin{bmatrix} |V_i^a|^2 & V_i^a V_i^{b*} & V_i^a V_i^{c*} \\ V_i^b V_i^{a*} & |V_i^b|^2 & V_i^b V_i^{c*} \\ V_i^c V_i^{a*} & V_i^c V_i^{b*} & |V_i^c|^2 \end{bmatrix}$$

节点电压矩阵

对角线元素
为各相电压
幅值的平方

$$V_j = V_i - z_{ij} I_{ij} \quad \Rightarrow \quad V_j V_j^H = (V_i - z_{ij} I_{ij})(V_i - z_{ij} I_{ij})^H$$

$$\Rightarrow v_j = v_i - (S_{ij} z_{ij}^H + z_{ij} S_{ij}^H) + z_{ij} l_{ij} z_{ij}^H$$

新的潮流变量: $S_{ij} \in \mathcal{C}^{3 \times 3}, l_{ij} \in \mathcal{H}^{3 \times 3}, v_i \in \mathcal{H}^{3 \times 3}, s_i \in \mathcal{C}^3$

潮流变量替换的可行性

原始潮流变量

$$V_i \in \mathcal{C}^3, I_{ij} \in \mathcal{C}^3, l_{ij} \in \mathcal{H}^{3 \times 3}, \\ S_{ij} \in \mathcal{C}^{3 \times 3}, s_i \in \mathcal{C}^3$$

原始潮流方程

$$\sum_{k:j \rightarrow k} \text{diag}(S_{jk}) = \sum_{i:i \rightarrow j} \text{diag}(S_{ij} - z_{ij} l_{ij}) + s_j \quad \forall j \in \mathcal{N}$$

$$V_i - V_j = z_{ij} I_{ij} \quad \forall (i, j) \in \mathcal{E}$$

$$l_{ij} = I_{ij} I_{ij}^H \quad \forall (i, j) \in \mathcal{E}$$

$$S_{ij} = V_i I_{ij}^H \quad \forall (i, j) \in \mathcal{E}$$

新的潮流变量

$$v_i \in \mathcal{H}^{3 \times 3}, l_{ij} \in \mathcal{H}^{3 \times 3}, \\ S_{ij} \in \mathcal{C}^{3 \times 3}, s_i \in \mathcal{C}^3$$

新的潮流方程

$$\sum_{k:j \rightarrow k} \text{diag}(S_{jk}) = \sum_{i:i \rightarrow j} \text{diag}(S_{ij} - z_{ij} l_{ij}) + s_j \quad \forall j \in \mathcal{N}$$

$$v_j = v_i - (S_{ij} z_{ij}^H + z_{ij} S_{ij}^H) + z_{ij} l_{ij} z_{ij}^H \quad \forall (i, j) \in \mathcal{E}$$

潮流变量可还原的条件

若 (v, S, l)
是由一组
 (V, I) 得出

$$\begin{aligned} v_i &= V_i V_i^H \\ l_{ij} &= I_{ij} I_{ij}^H \\ S_{ij} &= V_i I_{ij}^H \end{aligned}$$

$\begin{bmatrix} v_i & S_{ij} \\ S_{ij}^H & l_{ij} \end{bmatrix}$ is **positive semidefinite**

A **Hermitian** matrix $A \in \mathcal{H}^{n \times n}$ is **positive semidefinite**, written as $A \succcurlyeq 0$, if

$$x^H A x \geq 0, \forall x \in \mathcal{C}^n$$

$$\begin{bmatrix} v_i & S_{ij} \\ S_{ij}^H & l_{ij} \end{bmatrix} = \begin{bmatrix} V_i \\ I_{ij} \end{bmatrix} \begin{bmatrix} V_i \\ I_{ij} \end{bmatrix}^H$$

$\begin{bmatrix} v_i & S_{ij} \\ S_{ij}^H & l_{ij} \end{bmatrix}$ is **rank one**

潮流变量可还原的条件

当满足以下条件时，上述变量替换可逆：

- $v_0 = V_0^{\text{ref}}(V_0^{\text{ref}})^H$ for some $V_0^{\text{ref}} \in \mathcal{C}^3$
- $\text{diag}(v_i)$ is nonzero component-wise for $i \in \mathcal{N}$
- (v, S, l) satisfies
$$v_j = v_i - (S_{ij}z_{ij}^H + z_{ij}S_{ij}^H) + z_{ij}l_{ij}z_{ij}^H$$
- $\begin{bmatrix} v_i & S_{ij} \\ S_{ij}^H & l_{ij} \end{bmatrix}$ is rank one for $i \rightarrow j$

* L. Gan and S. H. Low, “Convex Relaxations and Linear Approximation for Optimal Power Flow in Multiphase Radial Networks,” arXiv:1406.3054v1 [math.OC] 11 Jun 2014.

还原算法： Recover (V, I) from (v, S, l)

1. $V_0 \leftarrow V_0^{\text{ref}}$
2. $\mathcal{N}_{\text{visit}} \leftarrow \{0\}$
3. **while** $\mathcal{N}_{\text{visit}} \neq \mathcal{N}$ **do**
4. find $i \rightarrow j$ such that $i \in \mathcal{N}_{\text{visit}}$ and $j \notin \mathcal{N}_{\text{visit}}$
5. compute
$$I_{ij} \leftarrow \frac{1}{\text{tr}(v_i)} S_{ij}^H V_i$$
$$V_j \leftarrow V_i - z_{ij} I_{ij}$$
$$\mathcal{N}_{\text{visit}} \leftarrow \mathcal{N}_{\text{visit}} \cup \{j\}$$
6. **end while**

配电网最优潮流问题的SDP模型

$$\begin{aligned}
 & \text{minimize} && \sum_{i \in \mathcal{N}} c_i^T \text{Re}(s_i) \\
 & \text{over} && S_{ij} \in \mathcal{C}^{3 \times 3}, l_{ij} \in \mathcal{H}^{3 \times 3}, v_i \in \mathcal{H}^{3 \times 3}, s_i \in \mathcal{C}^3 \\
 & \text{subject to} && \sum_{k:j \rightarrow k} \text{diag}(S_{jk}) = \sum_{i:i \rightarrow j} \text{diag}(S_{ij} - z_{ij} l_{ij}) + s_j \quad \forall j \in \mathcal{N} \\
 & && \underline{s}_j \leq s_j \leq \bar{s}_j \quad \forall j \in \mathcal{N} \\
 & && v_0 = V_0^{\text{ref}} (V_0^{\text{ref}})^H \\
 & && \underline{v}_i \leq \text{diag}(v_i) \leq \bar{v}_i \quad \forall i \in \mathcal{N}^+ \\
 & && v_j = v_i - (S_{ij} z_{ij}^H + z_{ij} S_{ij}^H) + z_{ij} l_{ij} z_{ij}^H \quad \forall (i, j) \in \mathcal{E}
 \end{aligned}$$

半定约束

$$\begin{bmatrix} v_i & S_{ij} \\ S_{ij}^H & l_{ij} \end{bmatrix} \succcurlyeq 0 \quad \forall (i, j) \in \mathcal{E}$$

~~$$\text{rank} \begin{bmatrix} v_i & S_{ij} \\ S_{ij}^H & l_{ij} \end{bmatrix} = 1 \quad \forall (i, j) \in \mathcal{E}$$~~

秩1松弛

配电网潮流模型的线性近似

$$\sum_{k:j \rightarrow k} \text{diag}(S_{jk}) = \sum_{i:i \rightarrow j} \text{diag}(S_{ij} - \mathbf{z}_{ij} \mathbf{l}_{ij}) + s_j \quad \forall j \in \mathcal{N}$$

$$v_j = v_i - (S_{ij} \mathbf{z}_{ij}^H + \mathbf{z}_{ij} S_{ij}^H) + \mathbf{z}_{ij} \mathbf{l}_{ij} \mathbf{z}_{ij}^H \quad \forall (i, j) \in \mathcal{E}$$

假设一：线路损耗小

$$\mathbf{z}_{ij} \mathbf{l}_{ij} \ll S_{ij}$$



$$\sum_{k:j \rightarrow k} \text{diag}(S_{jk}) = \sum_{i:i \rightarrow j} \text{diag}(S_{ij}) + s_j \quad \forall j \in \mathcal{N}$$

$$v_j = v_i - (S_{ij} \mathbf{z}_{ij}^H + \mathbf{z}_{ij} S_{ij}^H) \quad \forall (i, j) \in \mathcal{E}$$

配电网潮流模型的线性近似

假设二：节点电压接近平衡

$$\frac{V_i^a}{V_i^b} \approx \frac{V_i^b}{V_i^c} \approx \frac{V_i^c}{V_i^a} \approx e^{j\frac{2\pi}{3}}$$

$$\text{令 } \alpha = e^{-j\frac{2\pi}{3}} \quad \gamma = \begin{bmatrix} 1 & \alpha^2 & \alpha \\ \alpha & 1 & \alpha^2 \\ \alpha^2 & \alpha & 1 \end{bmatrix}$$

引入 $\Lambda_{ij} = \text{diag}(S_{ij})$ 表示 S_{ij} 对角元组成的列向量，在三相电压接近平衡的条件下，有

$$S_{ij} \approx \gamma \text{diag}(\Lambda_{ij})$$

$$\text{例：} S_{ij}^{ab} = V_i^a I_{ij}^{b*} \approx \alpha^2 V_i^b I_{ij}^{b*} = \alpha^2 S_{ij}^{bb} = \alpha^2 \Lambda_{ij}^b$$

三相不对称线性潮流模型

$$\sum_{k:j \rightarrow k} \Lambda_{jk} = \sum_{i:i \rightarrow j} \Lambda_{ij} + s_j \quad \forall j \in \mathcal{N}$$

$$S_{ij} = \gamma \text{diag}(\Lambda_{ij}) \quad \forall (i, j) \in \mathcal{E}$$

$$v_j = v_i - S_{ij} z_{ij}^H - z_{ij} S_{ij}^H \quad \forall (i, j) \in \mathcal{E}$$

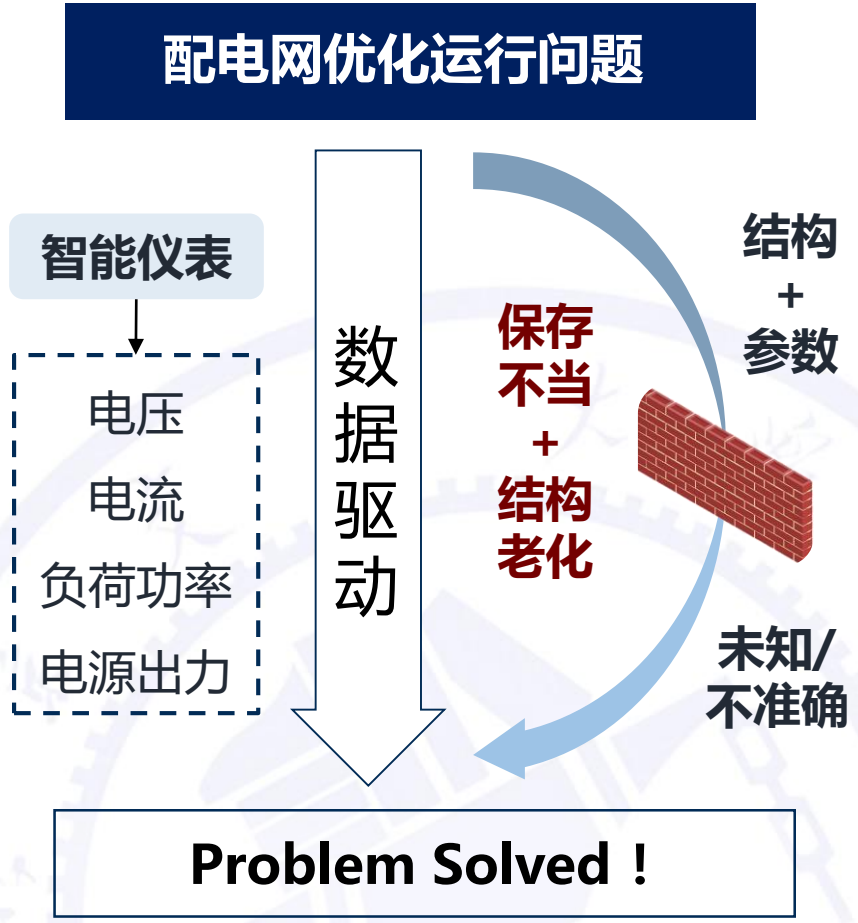
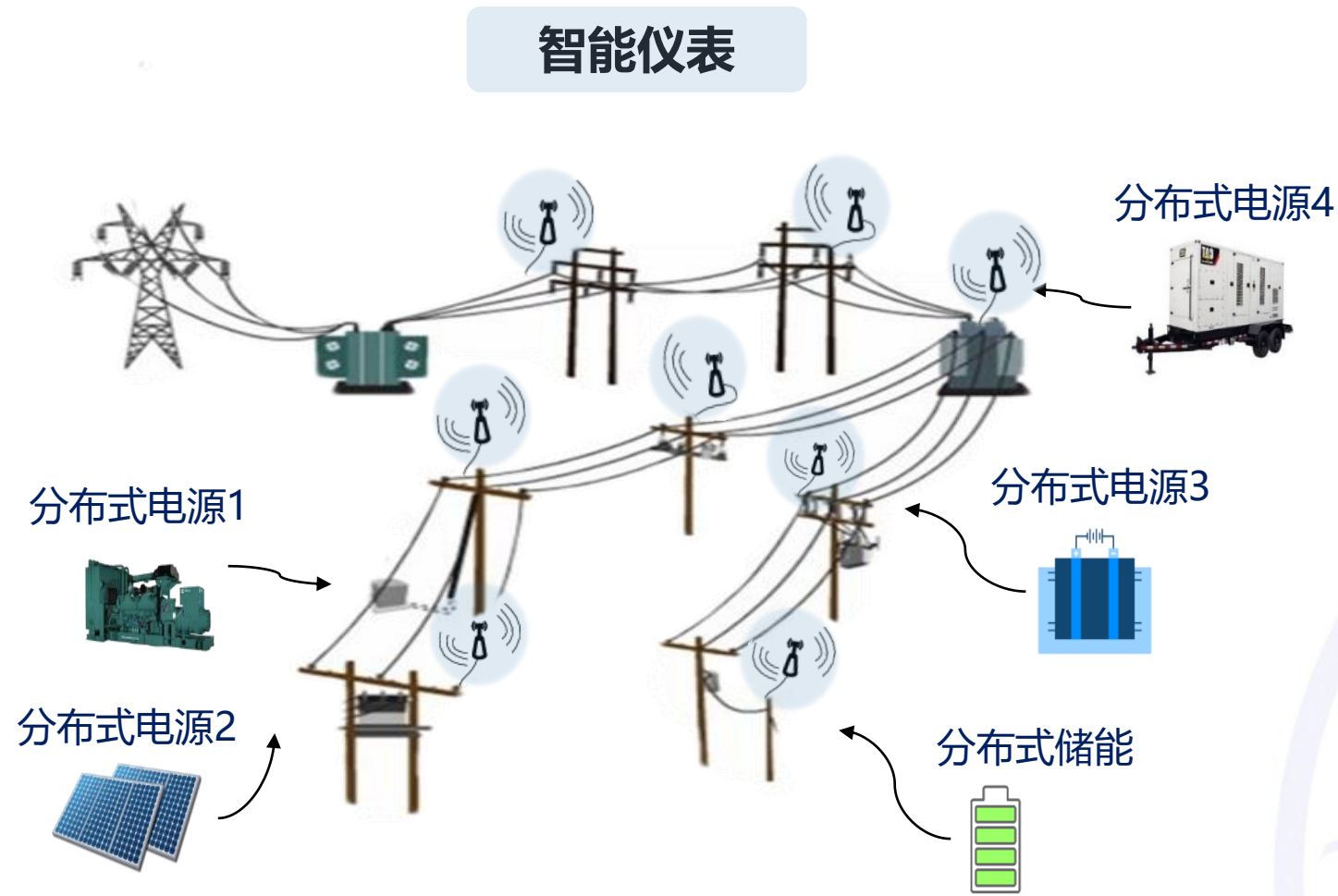
配电网最优潮流：线性模型

$$\begin{aligned} & \text{minimize} && \sum_{i \in \mathcal{N}} c_i^T \text{Re}(s_i) \\ & \text{over} && \Lambda_{ij} \in \mathcal{C}^3, S_{ij} \in \mathcal{C}^{3 \times 3}, v_i \in \mathcal{H}^3, s_i \in \mathcal{C}^3 \\ & \text{subject to} && \sum_{k: j \rightarrow k} \Lambda_{jk} = \sum_{i: i \rightarrow j} \Lambda_{ij} + s_j \quad \forall j \in \mathcal{N} \quad -\bar{\Lambda}_{ij} \leq \Lambda_{ij} \leq \bar{\Lambda}_{ij} \quad \forall (i, j) \in \mathcal{E} \\ & && S_{ij} = \gamma \text{diag}(\Lambda_{ij}) \quad \forall (i, j) \in \mathcal{E} \\ & && \underline{s}_j \leq s_j \leq \bar{s}_j \quad \forall j \in \mathcal{N} \\ & && v_0 = V_0^{\text{ref}} (V_0^{\text{ref}})^H \\ & && \underline{v}_i \leq \text{diag}(v_i) \leq \bar{v}_i \quad \forall i \in \mathcal{N}^+ \\ & && v_j = v_i - (S_{ij} z_{ij}^H + z_{ij} S_{ij}^H) \quad \forall (i, j) \in \mathcal{E} \end{aligned}$$

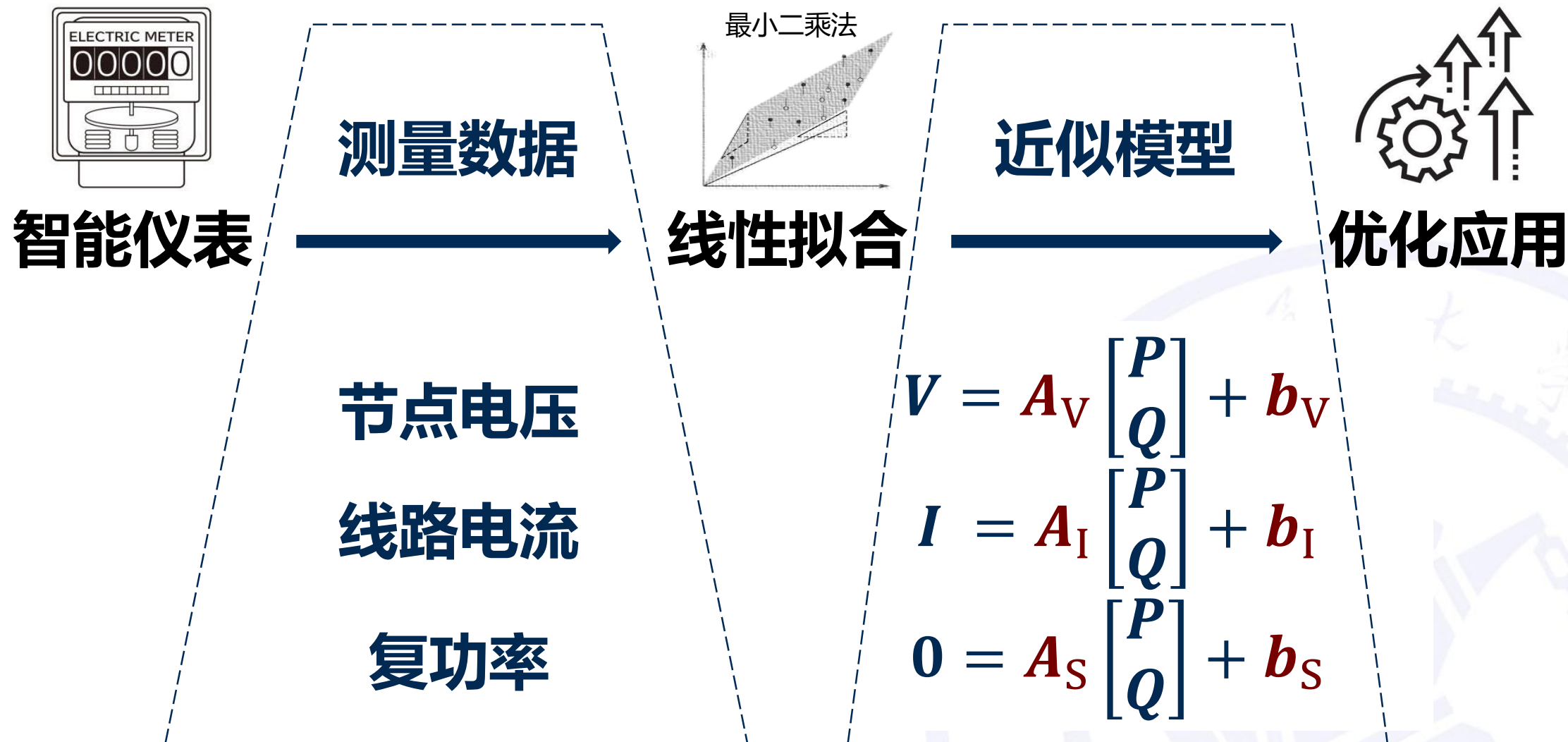


研究案例1：数据驱动 的配电网最优潮流

数据驱动的配电网最优潮流：研究背景

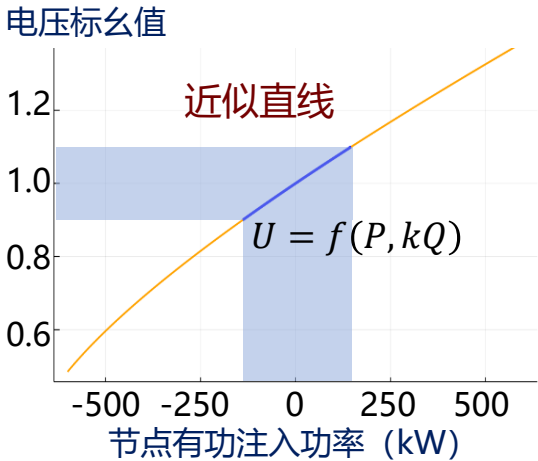
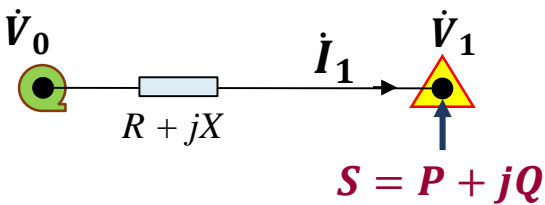


基于数据驱动的配电网最优潮流：研究思路

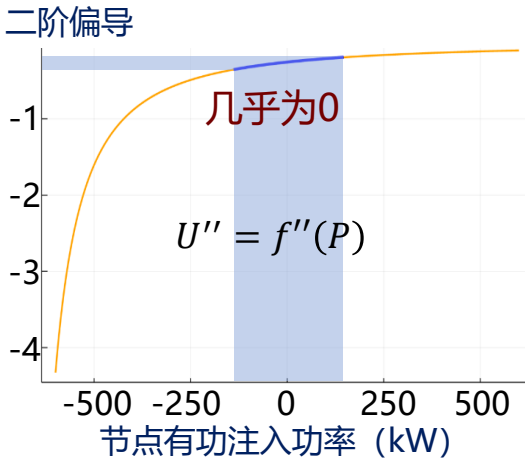


线性拟合的可行性

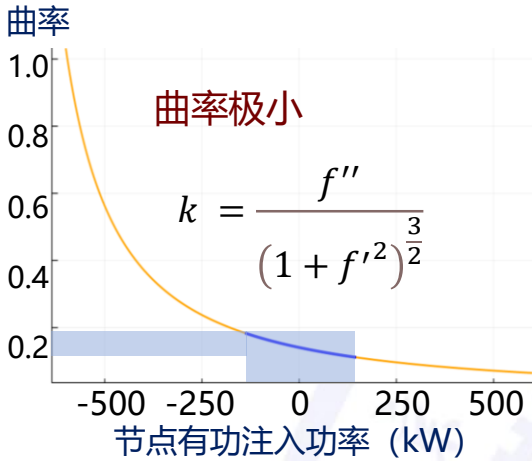
1 两节点系统注入功率与电压有效值



函数关系曲线



凹性曲线



曲率曲线

配电网系统	最大拟合绝对误差(p.u.)	
	ϵ_V^{\max}	ϵ_I^{\max}
IEEE 13-bus	$1.5e^{-4}$	$5.4e^{-3}$
IEEE 33-bus	$4.6e^{-6}$	$8.4e^{-4}$
IEEE 37-bus	$8.7e^{-5}$	$1.0e^{-2}$
IEEE 123-bus	$3.5e^{-4}$	$8.4e^{-3}$

* Y. Du, Y. Wang, and Y. Xu, “Convexity Analysis and Linear Approximation of Voltage Magnitude - Power Injection Mapping for Distribution Systems with Unknown Parameters,” IEEE Sustainable Power & Energy Conference (iSPEC), Chengdu, China, 2020.

解析模型 VS 拟合模型

解析模型

$$\sum_{k:j \rightarrow k} \Lambda_{jk} = \sum_{i:i \rightarrow j} \Lambda_{ij} + S_j$$

$$S_{ij} = \gamma \text{diag}(\Lambda_{ij})$$

$$v_j = v_i - S_{ij} z_{ij}^H - z_{ij} S_{ij}^H$$

拟合模型（数据驱动）

$$\mathbf{V} = \mathbf{A}_V \begin{bmatrix} \mathbf{P} \\ \mathbf{Q} \end{bmatrix} + \mathbf{b}_V$$

$$\mathbf{I} = \mathbf{A}_I \begin{bmatrix} \mathbf{P} \\ \mathbf{Q} \end{bmatrix} + \mathbf{b}_I$$

$$\mathbf{0} = \mathbf{A}_S \begin{bmatrix} \mathbf{P} \\ \mathbf{Q} \end{bmatrix} + \mathbf{b}_S$$

两个模型各有哪些优缺点？

解析模型

$$\sum_{k:j \rightarrow k} \Lambda_{jk} = \sum_{i:i \rightarrow j} \Lambda_{ij} + S_j$$

$$S_{ij} = \gamma \text{diag}(\Lambda_{ij})$$

$$v_j = v_i - S_{ij} z_{ij}^H - z_{ij} S_{ij}^H$$

拟合模型（数据驱动）

$$V = A_V \begin{bmatrix} P \\ Q \end{bmatrix} + b_V$$

$$I = A_I \begin{bmatrix} P \\ Q \end{bmatrix} + b_I$$

$$0 = A_S \begin{bmatrix} P \\ Q \end{bmatrix} + b_S$$

正常使用主观题需2.0以上版本雨课堂

数据驱动的配电网最优潮流：线性模型

minimize $c^T P_G$ 最小化发电成本

over $P_G \in \mathcal{R}^n, Q_G \in \mathcal{R}^n$

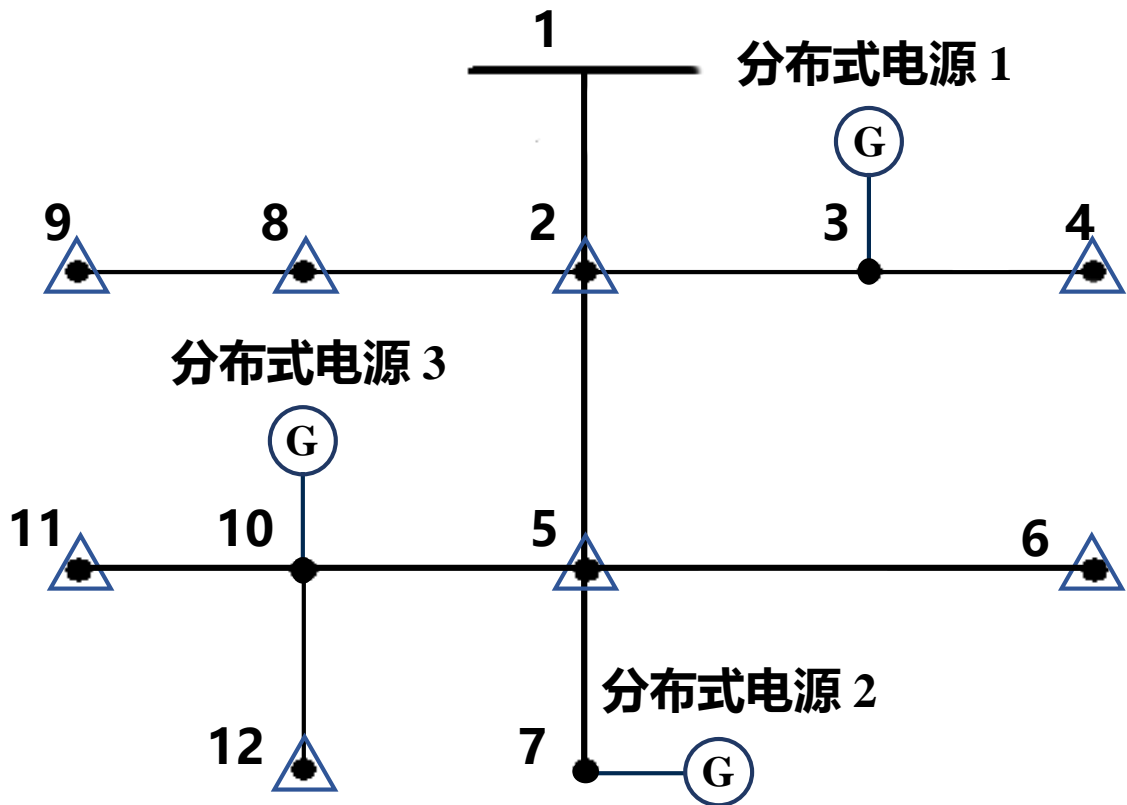
subject to $0 = A_S \begin{bmatrix} P_G - P_L \\ Q_G - Q_L \end{bmatrix} + b_S$ 功率平衡方程

$\begin{bmatrix} P_G^{\min} \\ Q_G^{\min} \end{bmatrix} \leq \begin{bmatrix} P_G \\ Q_G \end{bmatrix} \leq \begin{bmatrix} P_G^{\max} \\ Q_G^{\max} \end{bmatrix}$ 发电机出力约束

$V^{\min} \leq A_V \begin{bmatrix} P_G - P_L \\ Q_G - Q_L \end{bmatrix} + b_V \leq V^{\max}$ 节点电压约束

$I^{\min} \leq A_I \begin{bmatrix} P_G - P_L \\ Q_G - Q_L \end{bmatrix} + b_I \leq I^{\max}$ 线路电流约束

算例测试：基本信息



电源	单位发电成本	电源有功/无功出力限制 (p.u.)
DG1	10	2/2
DG2	50	1.5/1.4
DG3	10	0.8/0.7

⑦ 分布式电源(DG)

△ 负荷

*具体线路及负荷信息参见IEEE13节点标准算例

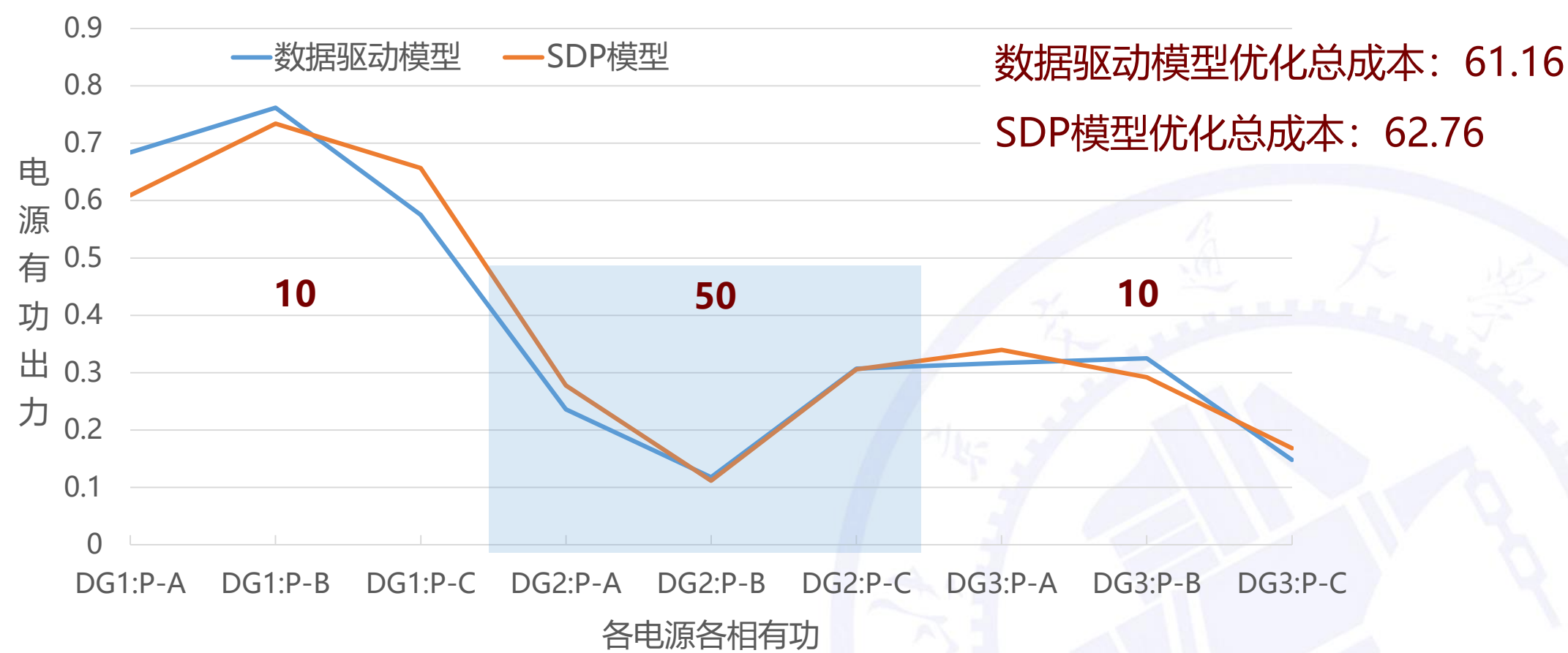
测试结果：最优潮流计算结果及分析

各电源出力均在规定的范围内，成本较低发电机优先出力



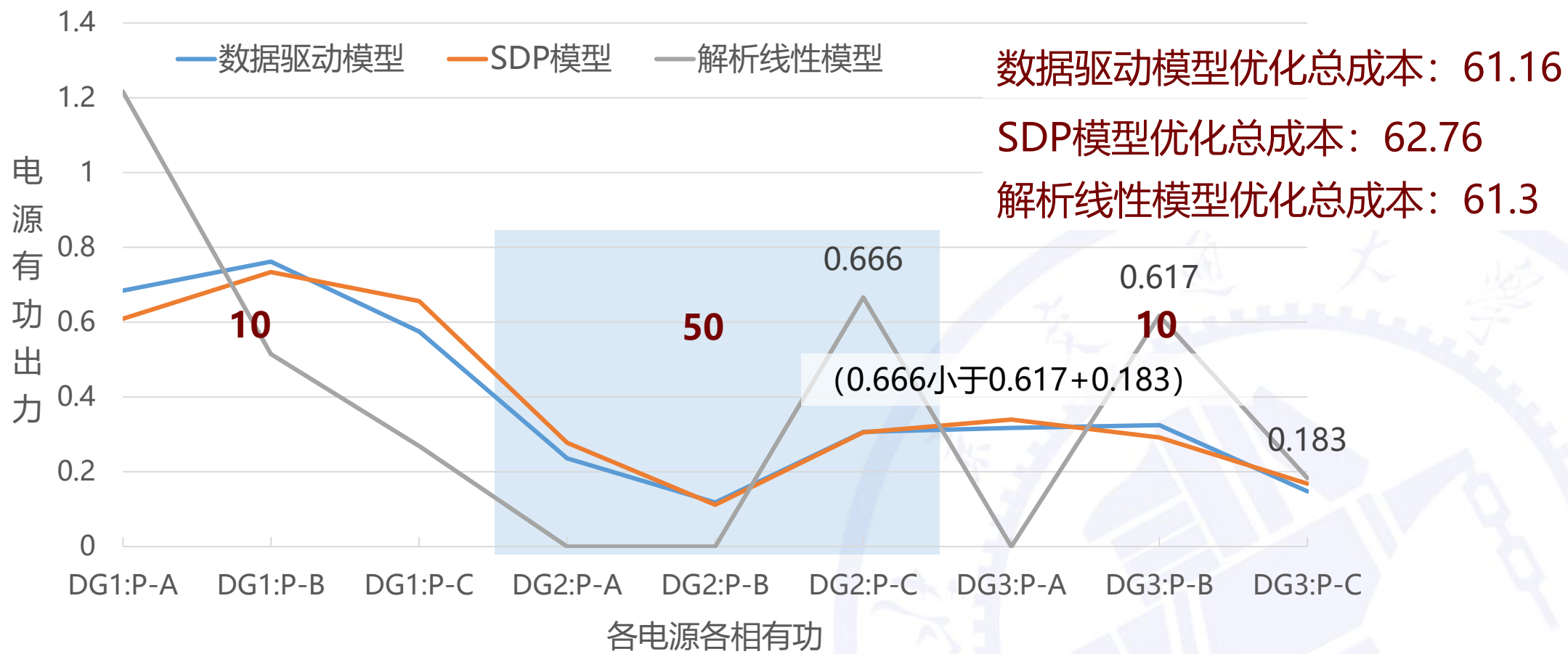
测试结果：对比SDP模型


根据计算结果，两模型给出的电源出力信息基本吻合



测试结果：对比解析线性模型

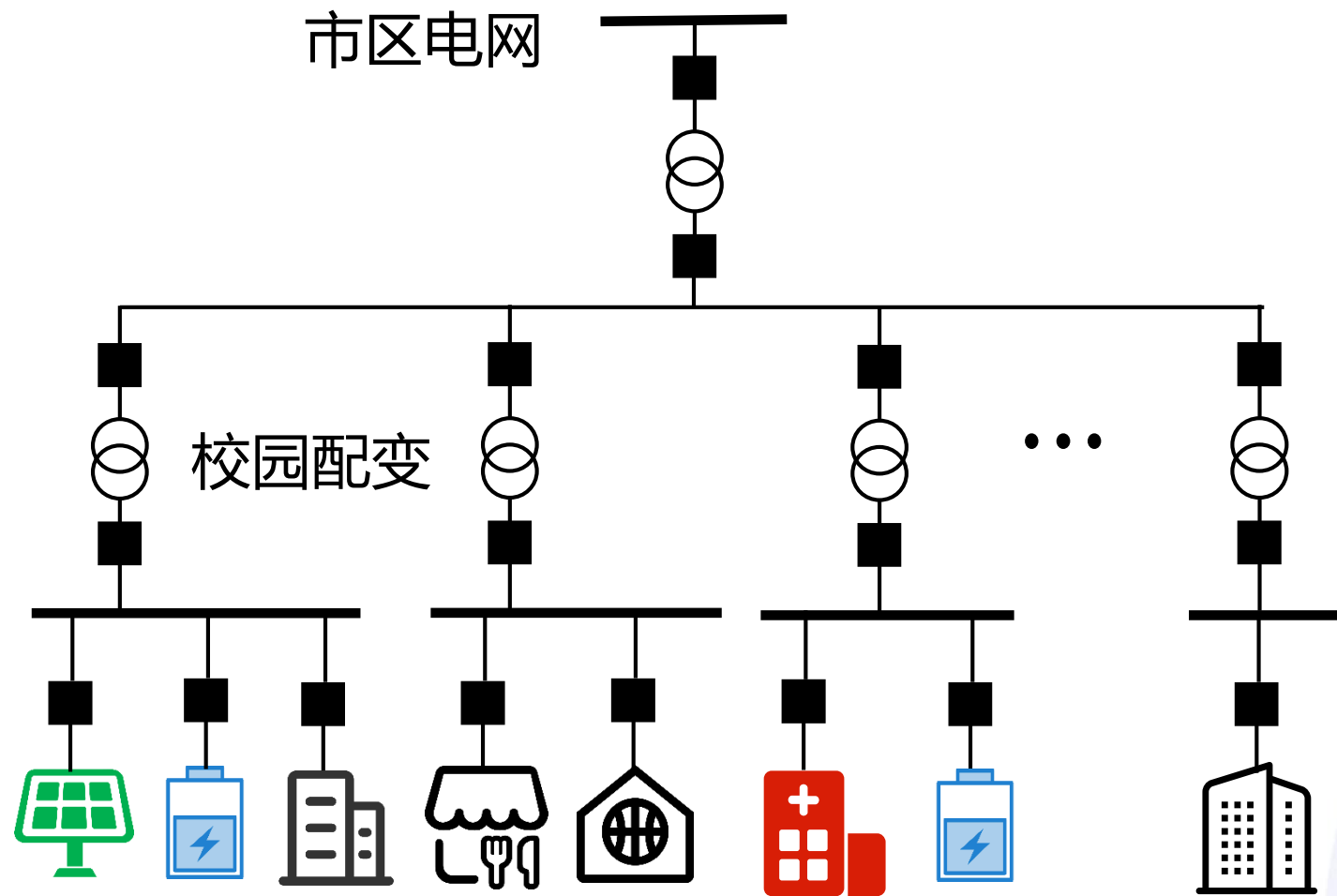
线性解析模型仅考虑发电成本，未考虑网损等因素，三相电源出力不平衡



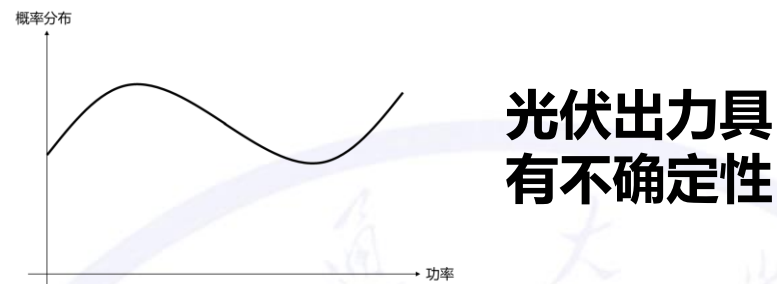


研究案例2：园区配电网 日前优化运行

园区配电网日前优化运行：研究背景



分布式光伏广泛接入



功率失衡

电压电流越限

许寅, 李佳旭, 王颖, 李晨, 和敬涵, “考虑光伏出力不确定性的园区配电网日前运行计划”, 电力自动化设备, 2020, 40(5): 85-91.

光伏出力不确定性建模：高斯混合模型

$$P(x) = \sum_{i=1}^m \alpha_i K_i(x|\mu_i, \sigma_i^2)$$

$$K_i(x|\mu_i, \sigma_i^2) = (2\pi)^{-\frac{1}{2}} \sigma_i^{-1} e^{-\frac{1}{2}\left(\frac{x-\mu_i}{\sigma_i}\right)^2}$$

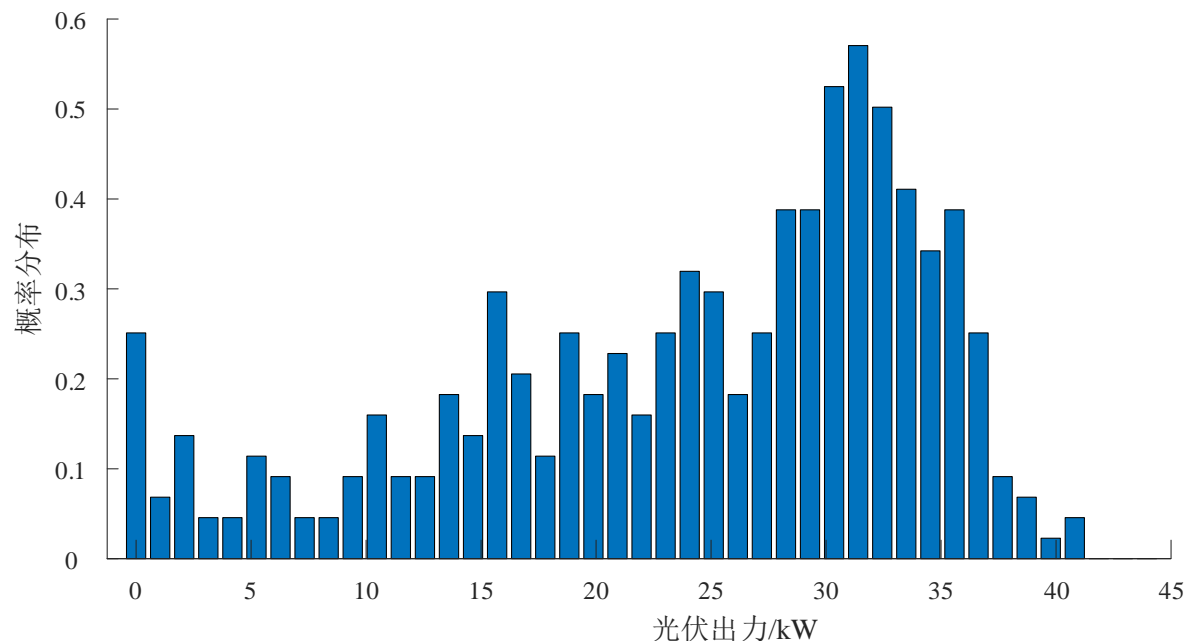
$$\sum_{i=1}^m \alpha_i = 1$$

$$\alpha_i > 0$$

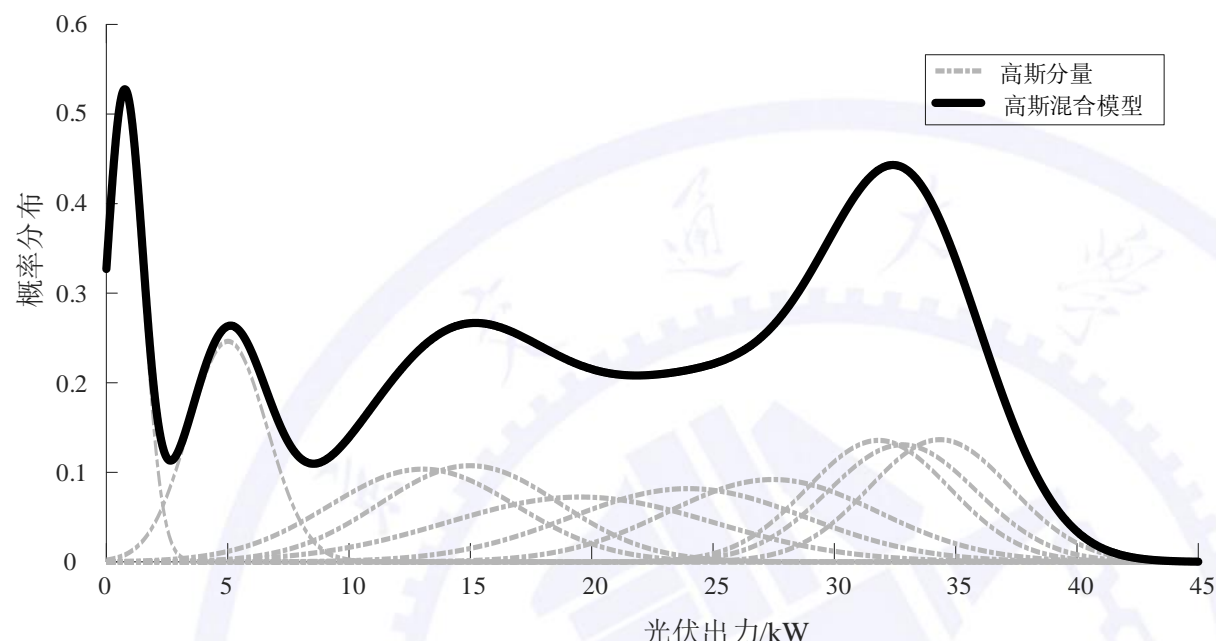
高斯混合模型由一个或多个高斯分量加权求和得到，通过调整其高斯分量的数量、权重和参数，理论上能够拟合任意连续随机变量的概率密度函数。

光伏不确定性拟合结果

针对非对称、多峰值的分布式光伏出力历史数据，高斯混合模型具有良好的拟合效果



历史数据



高斯混合模型拟合结果
(10个高斯分量)

场景分析法

含随机变量的最优问题



确定性的最优潮流问题

不确定性建模

历史数据输入



高斯混合模型

采样生成
大量场景



确定性场景分析

园区配电网日前
优化运行模型



关键物理量的统计信息

目标函数

$$\text{minimize} \quad \frac{1}{S} \sum_{m \in \mathcal{S}} C_b^m$$

最小化**园区配电网从主网购电费用**的平均值

$$C_b^m = \sum_{t \in \mathcal{T}} P_t^m T_{\text{int}} c_t$$

S 为场景数, P_t^m 为场景 m 中在 t 时段从主网吸收的功率, c_t 为电价, T_{int} 为单个优化时段长度

约束条件

多时段潮流方程及运行约束（假设三相对称）

$$\sum_{k:j \rightarrow k} P_{jk}^{t,m} = \sum_{i:i \rightarrow j} P_{ij}^{t,m} + p_j^{t,m} \quad \forall j \in \mathcal{N}, t \in \mathcal{T}, m \in \mathcal{S}$$

$$\sum_{k:j \rightarrow k} Q_{jk}^{t,m} = \sum_{i:i \rightarrow j} Q_{ij}^{t,m} + q_j^{t,m} \quad \forall j \in \mathcal{N}, t \in \mathcal{T}, m \in \mathcal{S}$$

$$v_j^{t,m} = v_i^{t,m} - 2 \left(r_{ij} P_{ij}^{t,m} + x_{ij} Q_{ij}^{t,m} \right) \quad \forall (i,j) \in \mathcal{E}, t \in \mathcal{T}, m \in \mathcal{S}$$

$$p_j^{t,m} = \begin{cases} p_{\text{gen}.j}^{t,m} - p_{\text{load},j} & \forall j \in \mathcal{G}, t \in \mathcal{T}, m \in \mathcal{S} \\ -p_{\text{load},j} & \forall j \in \mathcal{N}/\mathcal{G}, t \in \mathcal{T}, m \in \mathcal{S} \end{cases}$$

$$q_j^{t,m} = \begin{cases} q_{\text{gen}.j}^{t,m} - q_{\text{load},j} & \forall j \in \mathcal{G}, t \in \mathcal{T}, m \in \mathcal{S} \\ -q_{\text{load},j} & \forall j \in \mathcal{N}/\mathcal{G}, t \in \mathcal{T}, m \in \mathcal{S} \end{cases}$$

$$v_j^{\min} \leq v_j^{t,m} \leq v_j^{\max}$$

$$\forall j \in \mathcal{N}, t \in \mathcal{T}, m \in \mathcal{S}$$

$$P_{\text{gen}.j}^{\min} \leq p_{\text{gen}.j}^{t,m} \leq P_{\text{gen}.j}^{\max}$$

$$\forall j \in \mathcal{G}, t \in \mathcal{T}, m \in \mathcal{S}$$

$$p_{\text{gen}.j}^{t,m} = P_t^m$$

$$\forall j = 1, t \in \mathcal{T}, m \in \mathcal{S}$$

约束条件

储能运行约束（所有场景中储能充放电功率与SOC均相同）

$$R_{\text{SOC}}^t + P_{\text{ch},j}^t T_{\text{int}} \eta_{\text{ch}} - P_{\text{dch},j}^t T_{\text{int}} \eta_{\text{dch}} = R_{\text{SOC}}^{t+1} \quad \forall j \in \mathcal{B}, t \in \mathcal{T} - 1$$

$$R_{\text{SOC}}^t + P_{\text{ch},j}^t T_{\text{int}} \eta_{\text{ch}} - P_{\text{dch},j}^t T_{\text{int}} \eta_{\text{dch}} = R_{\text{SOC}}^1 \quad \forall j \in \mathcal{B}, t = N_T$$

$$0 \leq P_{\text{ch},j}^t \leq P_{\text{ch},j}^{\max} \quad \forall j \in \mathcal{B}, t \in \mathcal{T}$$

$$0 \leq P_{\text{dch},j}^t \leq P_{\text{dch},j}^{\max} \quad \forall j \in \mathcal{B}, t \in \mathcal{T}$$

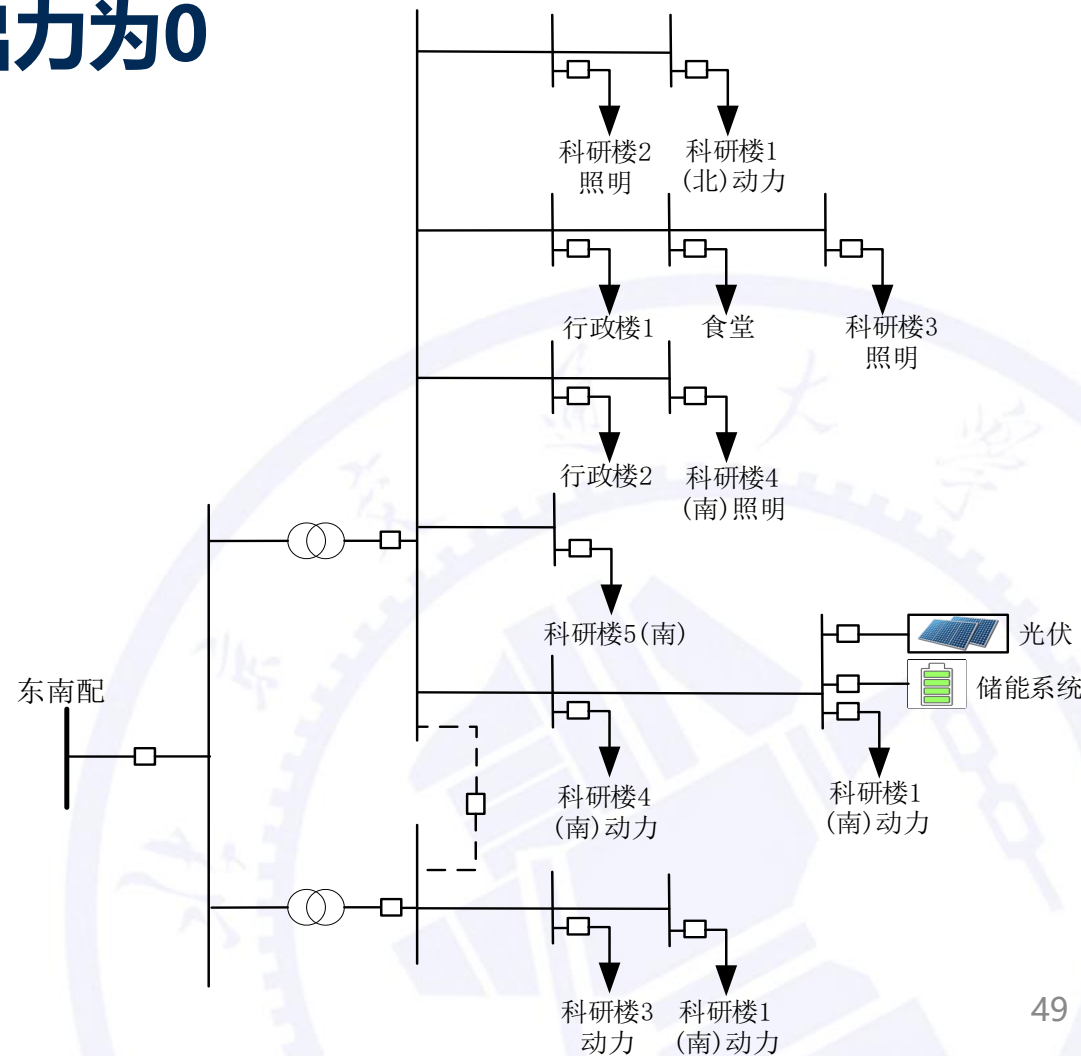
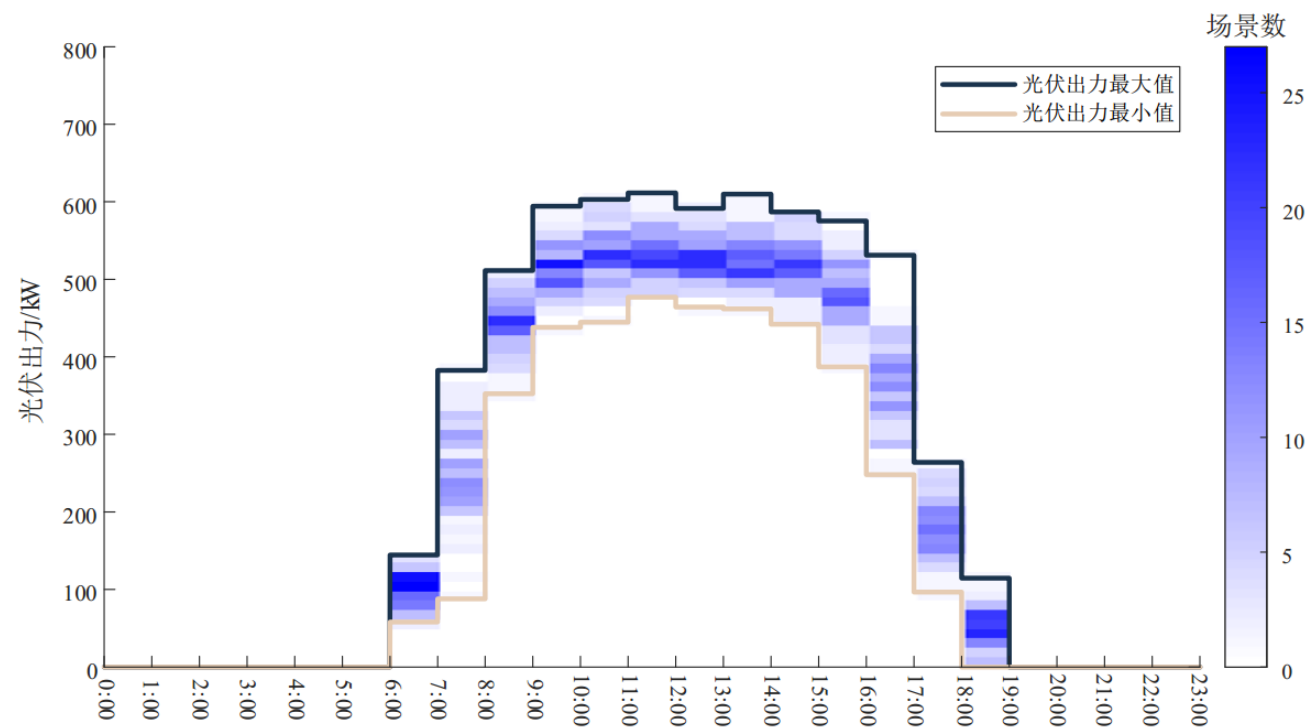
$$R_{\text{SOC}}^{\min} \leq R_{\text{SOC}}^t \leq R_{\text{SOC}}^{\max} \quad \forall j \in \mathcal{B}, t \in \mathcal{T}$$

日前优化运行模型

$$\begin{aligned}
 & \text{minimize} && \frac{1}{S} \sum_{m \in \mathcal{S}} C_b^m && C_b^m = \sum_{t \in \mathcal{T}} P_t^m T_{\text{int}} c_t \\
 & \text{subject to} && \\
 & \sum_{k: j \rightarrow k} P_{jk}^{t,m} = \sum_{i: i \rightarrow j} P_{ij}^{t,m} + p_j^{t,m} && \forall j \in \mathcal{N}, t \in \mathcal{T}, m \in \mathcal{S} && R_{\text{SOC}}^t + P_{\text{ch},j}^t T_{\text{int}} \eta_{\text{ch}} - P_{\text{dch},j}^t T_{\text{int}} \eta_{\text{dch}} = R_{\text{SOC}}^{t+1} \quad \forall j \in \mathcal{B}, t \in \mathcal{T} - 1 \\
 & \sum_{k: j \rightarrow k} Q_{jk}^{t,m} = \sum_{i: i \rightarrow j} Q_{ij}^{t,m} + q_j^{t,m} && \forall j \in \mathcal{N}, t \in \mathcal{T}, m \in \mathcal{S} && R_{\text{SOC}}^t + P_{\text{ch},j}^t T_{\text{int}} \eta_{\text{ch}} - P_{\text{dch},j}^t T_{\text{int}} \eta_{\text{dch}} = R_{\text{SOC}}^1 \quad \forall j \in \mathcal{B}, t = N_T \\
 & v_j^{t,m} = v_i^{t,m} - 2(r_{ij} P_{ij}^{t,m} + x_{ij} Q_{ij}^{t,m}) \quad \forall (i, j) \in \mathcal{E}, t \in \mathcal{T}, m \in \mathcal{S} && 0 \leq P_{\text{ch},j}^t \leq P_{\text{ch},j}^{\max} \quad \forall j \in \mathcal{B}, t \in \mathcal{T} \\
 & p_j^{t,m} = \begin{cases} p_{\text{gen},j}^{t,m} - p_{\text{load},j} \\ -p_{\text{load},j} \end{cases} && \begin{aligned} & \forall j \in \mathcal{G}, t \in \mathcal{T}, m \in \mathcal{S} \\ & \forall j \in \mathcal{N}/\mathcal{G}, t \in \mathcal{T}, m \in \mathcal{S} \end{aligned} && 0 \leq P_{\text{dch},j}^t \leq P_{\text{dch},j}^{\max} \quad \forall j \in \mathcal{B}, t \in \mathcal{T} \\
 & q_j^{t,m} = \begin{cases} q_{\text{gen},j}^{t,m} - q_{\text{load},j} \\ -q_{\text{load},j} \end{cases} && \begin{aligned} & \forall j \in \mathcal{G}, t \in \mathcal{T}, m \in \mathcal{S} \\ & \forall j \in \mathcal{N}/\mathcal{G}, t \in \mathcal{T}, m \in \mathcal{S} \end{aligned} && R_{\text{SOC}}^{\min} \leq R_{\text{SOC}}^t \leq R_{\text{SOC}}^{\max} \quad \forall j \in \mathcal{B}, t \in \mathcal{T} \\
 & && && v_j^{\min} \leq v_j^{t,m} \leq v_j^{\max} \quad \forall j \in \mathcal{N}, t \in \mathcal{T}, m \in \mathcal{S} \\
 & && && P_{\text{gen},j}^{\min} \leq p_{\text{gen},j}^{t,m} \leq P_{\text{gen},j}^{\max} \quad \forall j \in \mathcal{G}, t \in \mathcal{T}, m \in \mathcal{S} \\
 & && && p_{\text{gen},j}^{t,m} = P_t^m \quad \forall j = 1, t \in \mathcal{T}, m \in \mathcal{S}
 \end{aligned}$$

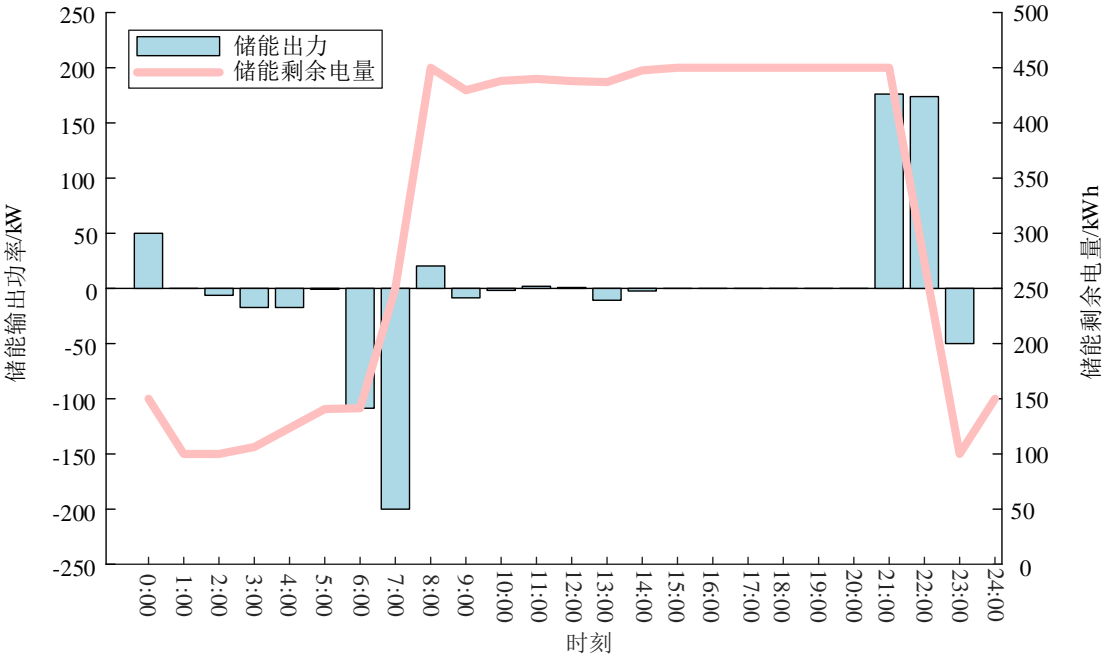
算例基本信息

取S=100。在不同的时段，光伏出力满足的分布并不相同。光伏出力在9:00-14:00时间段内较高，在夜间出力为0

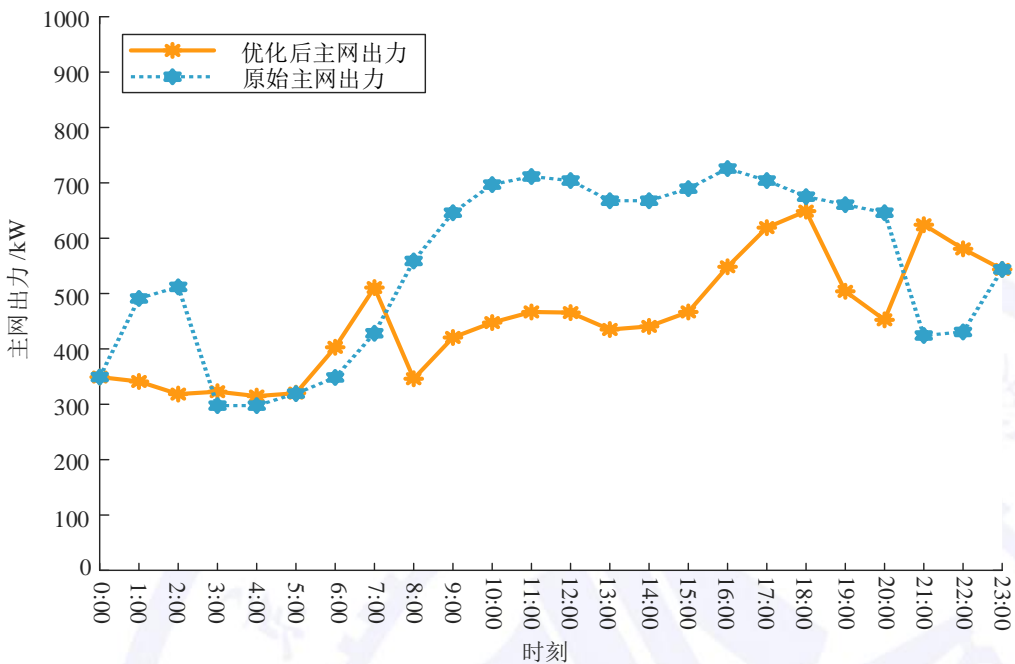


算例结果

分布式光伏接入后，在白天光伏出力较大的时段，负荷主要由光伏和主网供电，储能充电至SOC达到上限。在晚上光伏出力为0的时段，电价较高时，储能放电，减少主网购电；电价较低时，储能充电。



某高校东南配电系统储能日充放电与SOC变化情况



校园主网日出力

时段	01:00-08:00	08:00-18:00,23:00至次日01:00	18:00-23:00
电价	0.49	0.74	0.98



Julia复数优化

Convex.jl 工具包

Julia语言的Convex.jl工具包

- Convex.jl is a Julia package for **Disciplined Convex Programming**
- Solvers: **Mosek**, Gurobi, ECOS, SCS, and GLPK
- Webpage: <https://github.com/JuliaOpt/Convex.jl>
- Documentation: <https://www.juliaopt.org/Convex.jl/stable/>
- **Optimization with Complex Variables:** https://www.juliaopt.org/Convex.jl/stable/complex-domain_optimization/

复数优化问题举例

$$\text{maximize} \quad \frac{1}{2} \text{tr}(Z + Z^H)$$

$$\text{subject to} \quad \begin{bmatrix} P & Z \\ Z^H & Q \end{bmatrix} \succcurlyeq 0$$

$$Z \in \mathbb{C}^{n \times n}$$

P and Q are two Hermitian semidefinite matrices

```
1  using Convex, MosekTools, LinearAlgebra
2  n = 20
3  P = randn(n,n) + im*randn(n,n)
4  P = P*P'
5  Q = randn(n,n) + im*randn(n,n)
6  Q = Q*Q'
7  Z = ComplexVariable(n,n)
8  objective = 0.5*real(tr(Z+Z'))
9  constraint = [P Z; Z' Q] in :SDP
10 problem = maximize(objective,constraint)
11 solve!(problem, () -> Mosek.Optimizer)
12 println(evaluate(objective))
```

课程目标

- 了解我国配电网电压等级及典型拓扑结构
- 掌握三相不对称配电网最优潮流问题的半定规划模型建立过程
- 概括三相不对称配电网潮流线性化需满足的条件，掌握线性规划模型
- 理解并概括两个案例中最优潮流问题拟解决的难点及求解思想